

СВОЙСТВА ВЫСОКОВОЛЬТНЫХ РЕЗИН

М. Н. ТРЕСКИНА, Н. Р. ГОНЧАР, С. Ф. ГОДУНОВА

(Представлена научным семинаром кафедры электроизоляционной и кабельной техники)

В гибких высоковольтных кабелях напряжением 6 кв и выше незаменимым материалом для изоляции является резина. Вследствие структурных и технологических особенностей резине присуща пористость. При работе резиновой изоляции в электрическом поле напряженностью 3 кв/мм и выше в газовых порах происходит ионизация, приводящая к ухудшению основных свойств резиновой изоляции гибкого кабеля.

К высоковольтным резинам предъявляется наряду с другими, требование высокой озонной и коронной стойкости. Повышение озонной и коронной стойкости резин может быть достигнуто путем применения специальных каучуков и стабилизаторов, наиболее эффективным является применение синтетических каучуков с малой непредельностью. По озонастойкости каучуки, применяемые в высоковольтных резинах, могут быть расположены в ряд по убывающей степени: кремний — органический (предельное соединение), этилен-пропиленовый (предельное соединение), бутилкаучук (непредельность 0,6÷1,0 мол %), натуральный каучук (непредельность до 96 мол %) [1]. По данным [2] короностойкость бутилкаучуковой резины в 2 раза выше, чем резины на основе натурального каучука, короностойкость этилен-пропиленовой резины в 1000 раз выше, чем короностойкость бутилкаучуковой резины. Таким образом, с уменьшением непредельности каучука увеличивается озонная и коронная стойкость резин.

Однако малая непредельность каучуков затрудняет процесс вулканизации резиновых смесей, обусловливает подбор специальных вулканизирующих групп, состава смеси и выбор режимов вулканизации, что оказывает влияние на свойства резины.

В данной работе исследованы электроизоляционные и механические свойства изоляционных резин на основе различных каучуков: бутилкаучуковая резина (БК), этилен-пропиленовые резины на основе СКЭП (ЭПР) и на основе тройного сополимера (ЭПТФ), кремнийорганические резины на основе каучука «Силастен-50» (КО-I) и на основе каучука СКТ (КО-2), кремнийорганическая резина на основе фторсодержащего каучука (КО-Ф) и резина ТСШ-35А. Резиновые смеси выполнены по типовым рецептограммам и свулканизованы в лаборатории ТомНИИКП.

Для оценки свойств изоляционных резин в условиях, близких к эксплуатационным, исследования проведены на образцах различных толщин (1 мм и 4÷5 мм) в температурном интервале от +20 до +120°C.

Оценка устойчивости резин к воздействию теплового поля сделана по изменению механических свойств.

Удельное объемное сопротивление резин рассчитывалось по токам, измеренным на гальванометрической установке с помощью лампового электрометра, после 1-минутной выдержки образца под напряжением t_{gd} и ε резин определены с помощью моста Р — 525. Электрическая прочность оценивалась по пробивному напряжению образцов резин при электродах игла-плоскость. Толщина пробиваемого слоя (0,8 мм) и

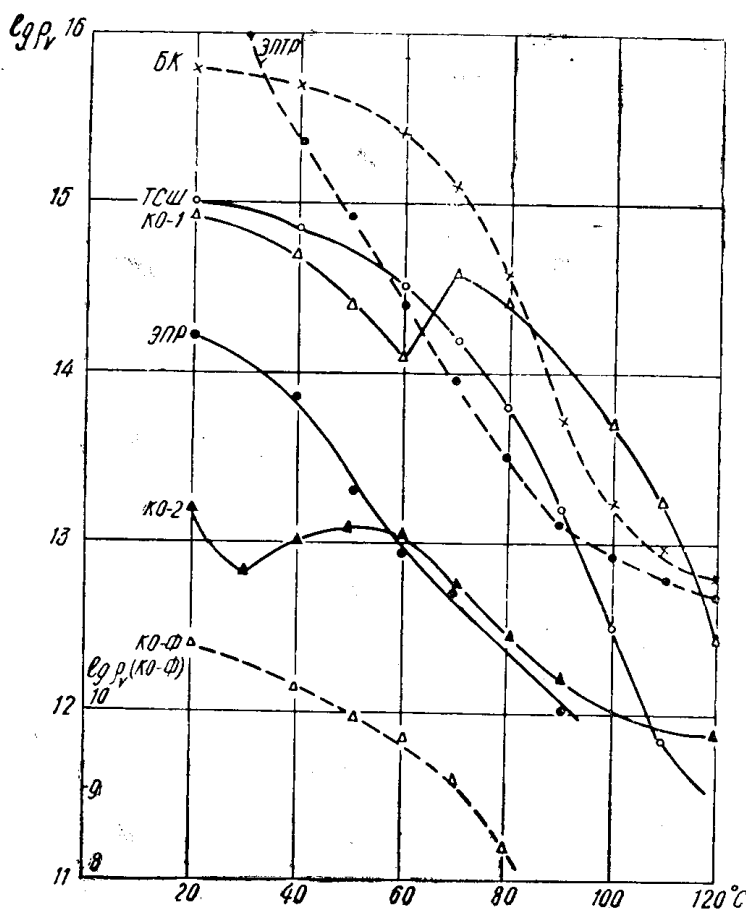


Рис. 1. Зависимость $\lg \rho_v$ от температуры для резин при толщине образцов 4—5 мм

○ — ТСШ-35 А, × — бутилкаучуковая резина (БК), ● — резина на основе этилен-пропиленового каучука твердостью по Дефо 280 Г с Аэросилом (ЭПР), ● — этилен-пропиленовая резина на основе тройного сополимера (ЭПТР), △ — кремнийорганическая резина на основе каучука «Силостен-50» (КО-1), ▲ — КО-резина на основе каучука СКТ (КО-2), △ — КО-резина на основе фторсодержащего каучука (КО-Ф)

2,5 мм) устанавливалась при перемещении иглы с помощью микрометренного винта. Измерения механических свойств резин проведены по стандартной методике.

Полученные экспериментальные данные представлены на рис. 1—5 и в табл. 1.

Для всех исследуемых резин температурные зависимости, свойств S_v , t_{gd} , ε аналогичны для тонких (1 мм) и толстых слоев (4—5 мм).

Таблица 1
Электрические и механические свойства резины ТСШ-35А, бутилкаучуковой
(БК) этилен-пропиленовых (ЭП) и кремнийорганических резин (КО)

Характеристика		Резина ТСШ-35А	БК-резина	ЭП-резина на основе СКЭП	ЭП-резина на основе тройно- го сopolимера	КО-резина на основе "Сылас- тен-50"	КО-резина на основе СКТ	КО-резина на основе фторсо- держащего кау- чуга
1	2	3	4	5	6	7	8	
ρ_v , ом·см								
при 20°C	1·10 ¹⁵	6·10 ¹⁵	1·7·10 ¹⁴	6·3·10 ¹⁶	8·10 ¹⁴	1·6·10 ¹³	5·6·10 ¹⁰	
при 100°C	3·2·10 ¹²	1·8·10 ¹³	8·10 ¹¹	8·10 ¹²	5·10 ¹³	1·10 ¹²	<10 ⁷	
Кратность уменьшения	3·1·10 ²	3·3·10 ²	2·1·10 ²	8·10 ³	16	16	>10 ³	
$\operatorname{tg}\delta$								
при 20°C	0,004	0,010	0,006	0,007	0,003	0,130	0,150	
при 100°C	0,060	0,026	0,026	0,024	0,030	0,150	60°C—0,99	
Кратность увеличения	15	2,6	4,3	3,4	10	1,15	6,6	
ε								
при 20°C	3,77	2,37	3,60	3,54	3,0	10,0	6,6	
при 100°C	3,87	2,58	3,52	3,50	2,8	10,5	60°C—14,0	
% изменения	+2,7	+8,9	-2,2	-1,1	-6,7	+5	+112	
$U_{\text{пр}}$ сп. при толщине слоя 2,5 мм, кВ среднеквад- ратичное отклонение, кВ	36,8	38,0	36,2	37,3	39,8	27,3	25,4	
	3,74	3,75	2,99	3,38	4,37	2,22	2,74	

Продолжение таблицы 1

1	2	3	4	5	6	7	8
Разрывная прочность, $\frac{kg}{cm^2}$							
до старения	75,0	48,4	25,9	34,8	52,9	25,7	63,0
после 4 сут. старения	51,3	47,0	31,2	34,3	53,8	29,4	61,0
при 120°C							
% изменения	-31,6	-2,9	+20	-1,4	+1,7	+14,4	-3,2
Относит. удлинение, %							
до старения	486	668	683	572	426	463	467
после 4 сут старения	446	622	711	268	401	458	364
% изменения	-8,2	-6,9	+4,1	-53	-5,9	-1,1	-22
Остаточное удлинение, %							
до старения	44	52	29	19	0	5	23
после 4 сут. старения	44	49	35	0	0	4	17
% изменения	0	-5,8	+20	-100	-	-20	-26

Пробивная напряженность образцов резин при толщине слоя 2,5 мм на 40—50% меньше пробивной напряженности образцов при толщине слоя 0,8 мм.

При температуре 20°C наибольшим значением ρ_V обладает резина ЭПТР ($\rho_V = 6,3 \cdot 10^{16}$ ом см), наименьшим ρ_V — резина КО-Ф $\rho_V = 5,6 \cdot 10^{10}$ ом см) (рис. 1). При повышении температуры до 100°C замечено значительное (в $8 \cdot 10^3$ раз) уменьшение ρ_V резины ЭПТР и несущественное (в 16 раз) резин КО-1 и КО-2 (табл. 1).

Исследуемые резины при 20°C имеют близкие значения $\operatorname{tg}\delta$, составляющие $0,003 \div 0,010$ (рис. 2). Исключение составляют кремнийор-

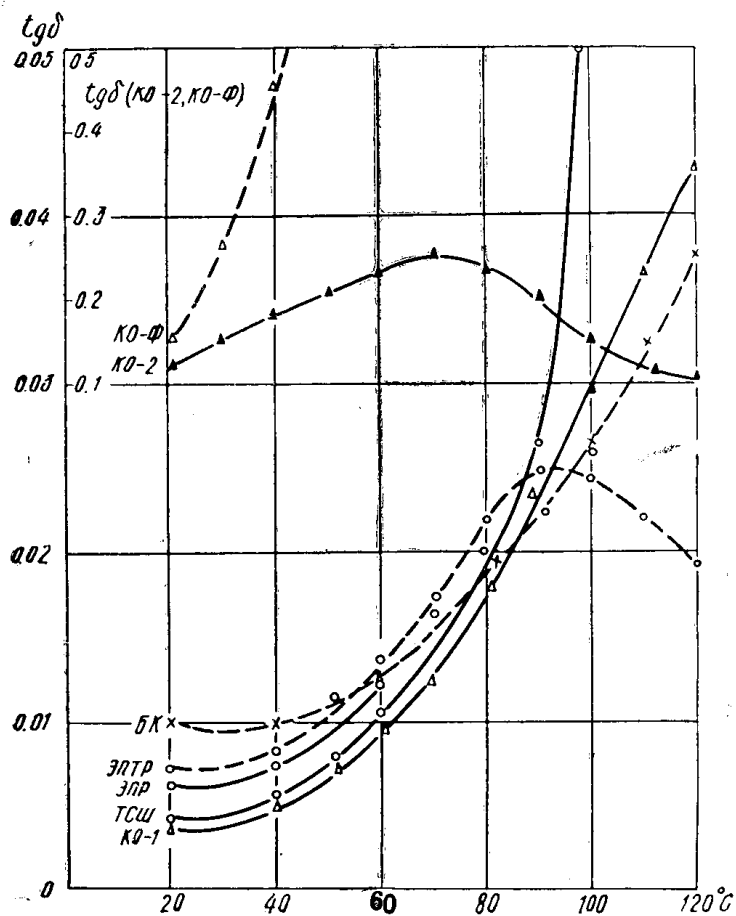


Рис. 2. Зависимость $\operatorname{tg}\delta$ от температуры для резин при толщине образцов 4—5 мм. Обозначения — см рис. 1

ганические резины, обозначенные выше КО-2 и КО-Ф, $\operatorname{tg}\delta$ которых равен $0,12 \div 0,15$. При повышении температуры до 100°C $\operatorname{tg}\delta$ резин ТСШ-35А, КО-1 и КО-Ф увеличивается в 10-15 раз, для остальных резин возрастание $\operatorname{tg}\delta$ составляет 2—4 раза. Диэлектрическая проницаемость БК-резины составляет 2,37, ϵ кремнийорганических резин КО-Ф и КО-2 равны 6,5 и 10 соответственно, для остальных резин $\epsilon = 3 \div 3,8$. С повышением температуры ϵ резин ЭПР, ЭПТР, КО-1 уменьшается, ϵ остальных резин увеличивается (рис. 3).

Лучшей по электрической прочности является резина КО-1, худшиими КО-2 и КО-Ф (рис. 4).

Из сравнения электроизоляционных свойств исследуемых резин видно, что кремнийорганическим резинам на основе фторсодержащего

каучука и СКТ присущи значительная электропроводность, высокие $\operatorname{tg}\delta$ и ϵ , следовательно высокая полярность, низкое значение электрической прочности. Кроме того, резина с СКТ уступает остальным по механической прочности.

По электроизоляционным свойствам лучшими являются бутилкаучуковая резина, этилен-пропиленовая резина на основе тройного

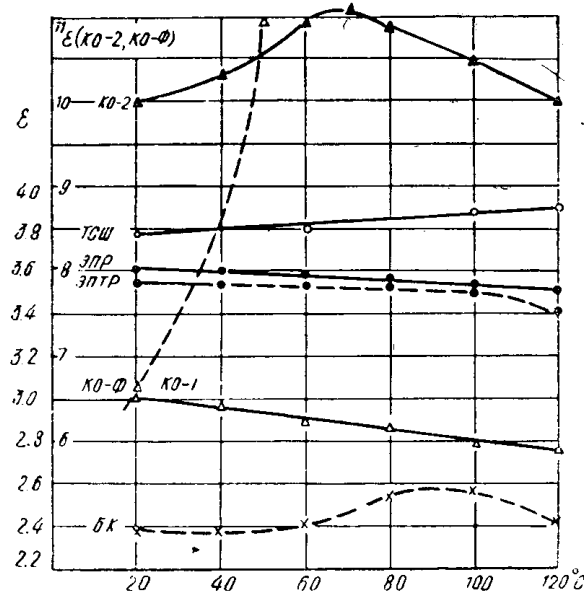


Рис. 3. Зависимость ϵ от температуры для резин при толщине образцов 4—5 м.м.
Обозначения — см рис. 1

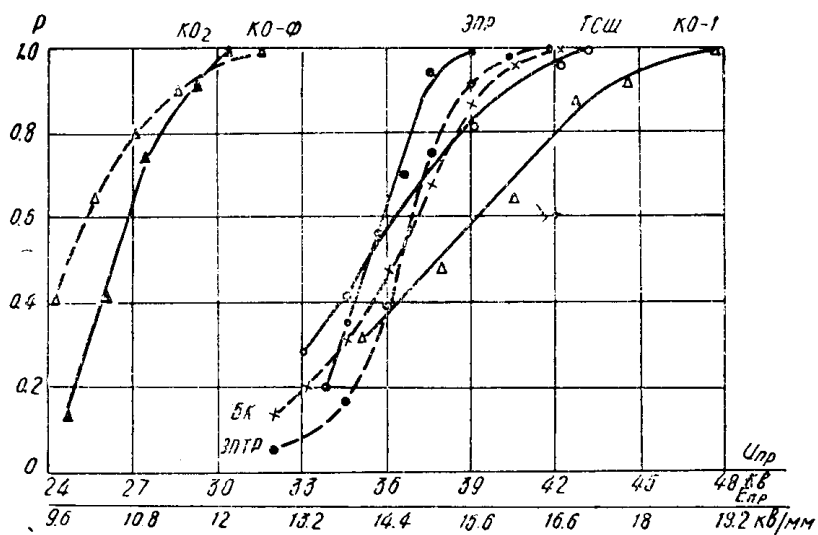


Рис. 4. Интегральные кривые вероятности пробоя образцов резин толщиной 4—5 м.м при напряжении переменного тока, при электродах игла-плоскость и толщине пробиваемого слоя 2,5 м.м. Обозначения — см. рис. 1

сополимера и кремний-органическая резина на основе «Силастен-50», но механическая прочность их на 36, 53 и 30% соответственно меньше прочности стандартной резины ТСШ-35А. Кроме того, в процессе теп-

лового старения резины ЭПТР наблюдается значительное уменьшение относительного и остаточного удлинений (рис. 5). В работе замечено увеличение ρ_v и уменьшение t_{gd} этой резины после дополнительного нагревания до температуры 100°C, что может быть связано с продолжающимся процессом вулканизации при нагревании резины.

В работе проведено сравнение свойств этилен-пропиленовой резины на основе тройного сополимера в зависимости от непредельности

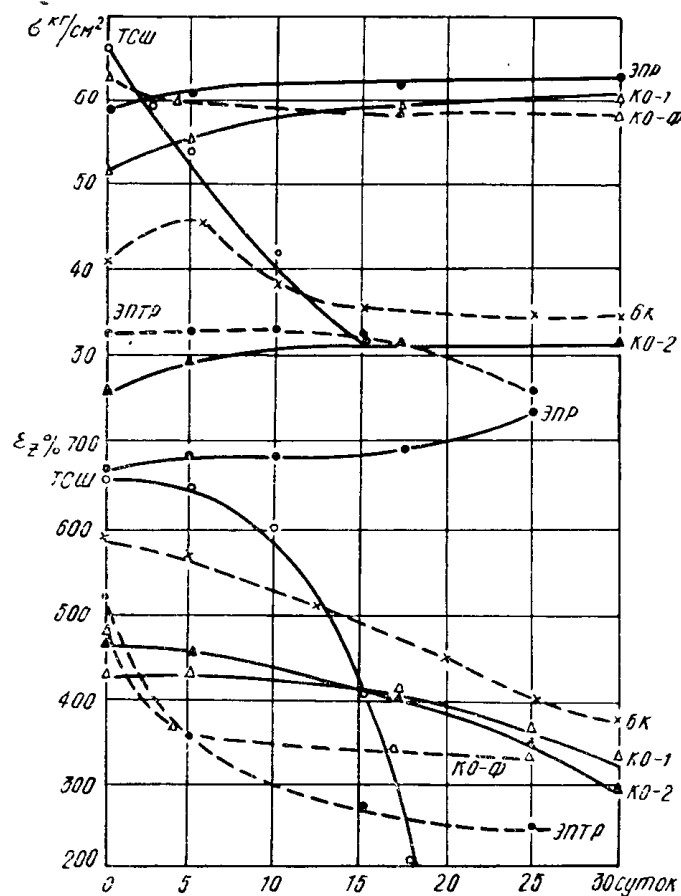


Рис. 5. Изменение разрывной прочности и относительного удлинения резин в процессе теплового старения при 120°C. Обозначения — см. рис. 1

(от 0,86 до 1,13 мол%) последнего. Изменение непредельности каучука от 0,86 до 1,13 мол% не приводит к значительному изменению диэлектрических и механических свойств резины ЭПТР.

Резина ЭПР на основе этилен-пропиленового каучука имеет достаточно высокие диэлектрические свойства, но низкую механическую прочность (табл. 1).

В работе проведено сравнение свойств резины ЭПР в зависимости от твердости каучука. Диэлектрические свойства резины не зависят от твердости каучука, а механические свойства улучшаются с увеличением твердости каучука: увеличение твердости по Дефо от 280 Г до 800 Г приводит к возрастанию на 44% разрывной прочности, на 30% относительного удлинения и в 2 раза остаточного удлинения резины ЭПР. Кроме того, замена в этих резинах наполнителя-мела химического белой сажей типа Аэросил приводит к значительному повышению меха-

нической прочности (на 75%), относительного удлинения (на 50%), остаточного удлинения (в 3 раза).

Таким образом, имеется возможность получить озоно-короностойкую этилен-пропиленовую резину с высокими диэлектрическими и механическими свойствами.

В работе проведено сравнение свойств двух бутилкаучуковых резин с различными вулканизирующими группами: 1) бессернистая, состоящая из парахинондиоксима, альтакса, перекиси марганца, 2) сернистая, состоящая из парахинондиоксима и серы.

На рис. 1—5 и в табл. 1 приведены данные для БК — резины с бессернистой группой.

Бутилкаучуковая вторая резина имеет худшие по сравнению с БК — резиновой первой (бессернистой) электроизоляционные и механические свойства:

$U_{\text{пр}}$ меньше на 10%, ρ_v меньше в 4 раза, $\text{tg}\delta$ при 100°C больше в 4 раза, ε больше в 1,5 раза, разрывная прочность, относительное и остаточное удлинение меньше на 10, 20 и 18% соответственно и в процессе теплового старения при 120°C в течение 4 суток уменьшаются на 28, 37 и 45% соответственно (для бессернистой резины уменьшение при тепловом старении составляет 3,0, 7,0 и 5,8%).

Повышенная теплостойкость БК-резин с бессернистой группой по сравнению с сернистой БК-резиной объясняется более стойкими к термохимическим воздействиям поперечными связями $-C-C-$ и $C-O-C-$ по сравнению со связями $-C-S-C-$. Кроме того, в резинах с бессернистой вулканизующей группой остаточная ненасыщенность меньше, чем в сернистых резинах [1]. Поэтому БК-резина бессернистая является более озоностойкой по сравнению с сернистой БК-резиной.

В работе получено заметное ухудшение свойств сернистой БК-резины при увеличении толщины образцов от 1 до 5 мм, что свидетельствует об увеличении неоднородности изоляции с увеличением толщины. Это подтверждается и большим значением среднеквадратичного отклонения $U_{\text{пр}}$ сернистой резины, составляющим 4,3 кв при $U_{\text{пр.ср.}} = 35$ кв (для бессернистой резины 3,75 кв при $U_{\text{пр.ср.}} = 38$ кв).

Изучение изменения механических свойств резин в процессе теплового старения при 120°C показало (рис. 5), что со временем старения резин на основе каучуков, имеющих непредельность, происходит уменьшение разрывной прочности (резины ТСШ, БК, ЭПТР), а σ резин на основе предельных каучуков (резины ЭПР, КО-1, КО-2) со временем старения возрастает, что возможно связано с процессами деструкции в первом случае и со структированием — во втором случае. В процессе теплового старения замечено значительное уменьшение относительного и остаточного удлинений резин ТСШ, БК и ЭПТР. Относительное удлинение кремнийорганических резин со временем старения незначительно уменьшается, а резины ЭПР незначительно возрастают.

На основании полученных экспериментальных данных можно сделать следующие выводы:

1. По электроизоляционным свойствам лучшими резинами из рассмотренных являются бутилкаучуковая, этилен-пропиленовая на основе тройного сополимера и кремнийорганическая на основе каучука «Силастен-50». Однако резина ЭПТР имеет низкую разрывную проч-

ность 34,8 $\frac{\kappa\Gamma}{cm^2}$ и резкое уменьшение при тепловом старении относительного и остаточного удлинений.

2. Исследованные кремнийорганические резины на основе СКТ и фторсодержащего каучука имеют низкие электроизоляционные и механические (резина с СКТ) свойства.

3. Изменение непредельности тройного этилен-пропиленового каучука от 0,86 до 1,13 мол% не оказывает существенного влияния на диэлектрические и механические свойства резины.

4. Увеличение твердости по Дефо от 280 Г до 800 Г этиленпропиленового каучука приводит к возрастанию на 44% разрывной прочности, на 30% относительного удлинения и в 2 раза остаточного удлинения резины. Замена в этилен-пропиленовой резине мела химической белой сажей типа Аэросил приводит к повышению на 75% σ , на 50% ε_z в 3 раза остаточного удлинения.

5. Бутилкаучуковая резина с сернистой вулканизующей группой имеет худшие диэлектрические и механические свойства, меньшую теплостойкость, большую неоднородность по сравнению с бессернистой БК-резиной.

ЛИТЕРАТУРА

1. П. М. Глупушкин, А. Е. Саакян, Д. П. Щербаков. Кабельные резины, «Энергия», 1966.
 2. Отчет о посещении специалистами-кабельщиками заводов Италии. ОНТИ, 1966.
 3. Davini G. Современное развитие кабелей высокого напряжения, изолированных этилен-пропиленовой резиной «Mater. plast. ed elast.», 1967, 33, № 3.
 4. Л. И. Краинхфельд, Т. М. Орлович, Л. З. Хазен. Кремнийорганические резины в кабельной технике. ВНИИЭМ, 1966.
-